

耐高渗透压酵母产生甘油及 阿拉伯糖醇的研究

IV. 耐高渗透压酵母的糖代谢途径*

张樹政 王惠蓮 楊廉婉

(中国科学院微生物研究所,北京)

耐高渗透压酵母在高浓度的葡萄糖基质中通气培养时,产生大量的甘油和其他多元醇,近年来已有很多报导^[1-3]。但关于该酵母糖代谢的研究较少,Spencer 等^[6]用 C¹⁴ 标记的葡萄糖进行试验,根据产物的标记情况推断葡萄糖分解通过 EMP^[4] 途径和磷酸葡萄糖酸氧化途径。转酮酶在阿拉伯糖醇形成中起重要作用。Onishi^[7] 在 *Pichia miso* 中找出与多元醇形成有直接关系的连系 NAD 的多元醇脱氢酶。最近 Weimberg^[8] 在 *Saccharomyces mellis* 提取液中测出连系 NADP 的多元醇脱氢酶活力,从而推断出了 D-arabitol 形成途径。本实验室也曾分离并筛选出高产甘油及阿拉伯糖醇的菌种^[9]并进行了发酵条件试验^[10]。本文报导耐高渗透压酵母的糖代谢途径的研究结果。

一、材料和方法

菌种及其培养 所用酵母为 *Hansenula arabitolgenes* Fang 275 及 *Zygosaccharomyces chevalieri* Guill. 2.309。培养基成分见前报^[10],在 30℃ 液体振荡培养 24 小时,或者用固体斜面培养 2 日。

静息细胞悬液之制备 斜面上长好的细胞用蒸馏水洗下,离心分离后用蒸馏水洗 3 次,悬浮于 M/15 磷酸缓冲液 (pH = 5.0) 中,每毫升含细胞干重在 2—4 毫克之间。

无细胞提取液之制备 液体培养好的菌体离心分离并用蒸馏水洗 3 次,再用 0.001 M pH 7.5 磷酸缓冲液洗 1 次,加入相当湿菌体 2.5 倍重量的细石英砂(高级研磨粉,600 筛孔),在冰盐浴中研磨 15 分钟,然后对每一克湿菌体加 1 毫升 pH 7.5,0.1 M 的磷酸缓冲液或 0.1 M NaHCO₃ 研匀,在 10,000 转/分离心 10 分钟,对蒸馏水或稀释 50 倍的上述缓冲液在冰箱中透析 20 小时。如有不同另行说明。

试剂 D-木酮糖和 D-核酮糖是分别由 D-木糖及 D-阿拉伯糖在吡啶中回流来制备的^[11],用 Whatman 3 MM 滤纸分离提纯。NADH₂ 为由 NAD 被醇脱氢酶催化,用乙醇还原制备的^[12],其他试剂皆系商品。

酶活力的测定 以 NAD 或 NADP 为氢受体的酶活性是用 Hilger 分光光度计在波长 340 毫微米,光径 1 厘米的小池中测定的,光密度的变化表示酶的活力。氧的消耗与 CO₂ 的放出用普通的瓦氏呼吸计测定。其他方法详见下面酶活力测定部分。

* 韩文珍、任永娥二同志参加部分技术工作,特此致谢。

1) 本文采用以下简写: EMP = Embden Meyerhof-Parnas 糖酵解途径; NAD = 辅酶 I; NADP = 辅酶 II; NADPH = 还原辅酶 II; ATP = 腺三磷; ADP = 腺二磷; G-6-P = 6-磷酸葡萄糖; 6-P-G = 6-磷酸葡萄糖酸; F-6-P = 6-磷酸果糖; FDP = 1,6-二磷酸果糖; R-5-P = 5-磷酸核糖; Ru-5-P = 5-磷酸核酮糖; Xu-5-P = 5-磷酸木酮糖; TCA = 三氯乙酸, R. Q. = 呼吸商。Tris. = 三羟甲基氨基甲烷。A = 光密度。本文 1963 年 8 月 15 日收到。

同位素实验法 葡萄糖- $1-C^{14}$ 及全标记的葡萄糖-全- C^{14} 加普通葡萄糖配成 0.1 M 溶液，3 微居里/毫升。

计数方法 取一定大小及厚薄的滤纸片铺在小玻璃皿中，将样品滴在纸片上，在干燥器中干燥，用薄窗钟罩形盖氏计数管计数，呼吸放出之 CO_2 用 NaOH 吸收后亦直接滴在纸片上放在有固体 NaOH 之干燥器中干燥后计数，因为只是作相对比较，故未作自吸收校正。

分析方法 蛋白质含量用双缩脲方法测定^[13]。磷用 Fiske 和 Subbarow^[14] 法测定。丙酮酸用 Friedemann 和 Haugen 方法^[15] 测定。

二、结 果

(一) 葡萄糖的氧化

275 号和 2.309 号酵母的无细胞提取液氧化葡萄糖的结果见表 1。在有 ATP、NAD、 Mg^{++} 及甲烯蓝存在下(完全系统)葡萄糖可被氧化，缺少 ATP 时氧化降低，说明葡萄糖必须先磷酸化后才能氧化。除去 NAD 时也不氧化。 Mg^{++} 对氧化有促进作用。氯化钠及碘乙酸有抑制作用，不过 275 号对氯化钠较不敏感。

表 1 无细胞提取液对葡萄糖的氧化

反 应 系 统	275		2.309	
	耗 O_2 (微升/小时)	降 低 %	耗 O_2 (微升/小时)	降 低 %
完全系统	130.7	—	120.9	—
- $MgSO_4$	122.5	6	97.2	20
-甲烯蓝	110.9	15	100.8	17
-ATP	30.2	46	10.7	91
-NAD	3.4	98	6.0	95
+氯化钠(2.5 微克分子)	83.7	36	56.0	54
+碘乙酸(10 微克分子)	50.0	62	62.6	48

注：表中数值已减去内呼吸(内呼吸值 275=12.1, 2.309=0) 反应系统 2.5 毫升中含下列物质微克分子数：葡萄糖 10, $MgSO_4$ 10, ATP 3, NAD 1, 甲烯蓝 1, 0.1 M 甘氨二肽 0.5 毫升，无细胞提取液蛋白 14.7 毫克 ($M/15$ pH 7.5 磷酸缓冲液提取，透析 13 小时)。30°C, 反应 1 小时，振速 100 次/分。

(二) 6-磷酸葡萄糖的氧化

除了用 6-磷酸葡萄糖代替葡萄糖和不加 ATP 外，与葡萄糖的氧化条件相同，结果见表 2。磷酸盐对 G-6-P 的氧化有明显的抑制作用。

(三) EMP 途径酶系的测定

1. 己糖激酶：己糖激酶根据 Stein 等^[16]的方法测定，无细胞提取液在 Mg^{++} 存在下与葡萄糖及 ATP 一起保温，如果有己糖激酶的存在则有 G-6-P 生成，靠无细胞提取液中本身具有的 G-6-P 脱氢酶(见后)的作用，即可引起 NADP 的还原，结果见图 1。可知两株酵母均有己糖激酶，275 号活力很高。

2. 磷酸己糖异构酶：磷酸己糖异构酶根据 Stein^[17] 的方法测定，F-6-P 经磷酸己糖异构酶催化，转化为 G-6-P，后者再经 G-6-P 脱氢酶作用引起 NADP 之还原。结果见图 2。可知两株酵母均有磷酸己糖异构酶活力。以 275 号活力较高，不加 F-6-P 时无作用。

表 2 無細胞提取液对 G-6-P 的氧化

反 应 系 统	275			2.309		
	耗 O ₂ (微升/小时)	降 低 %		耗 O ₂ (微升/小时)	降 低 %	
完全系統	160.5	—		137.0	—	
-MgSO ₄	107.2	33		86.6	37	
-甲烯蓝	82.7	49		60.3	56	
-NADP	43.6	73		27.1	80	
+氯化鈉 (2.5 微克分子)	120.0	25		117.6	14	
+碘乙酸 (10 微克分子)	87.7	45		87.1	36	
+Na ₂ HPO ₄ (50 微克分子)	98.1	39		62.5	54	

注：表中数值已减去内呼吸数值（内呼吸值 275=19.3，2.309=3.6）反应系统 2.5 毫升中含下列物质微克分子数：甲烯蓝 1，G-6-P 10，MgSO₄ 10，NADP 0.56，0.1 M 甘氨二肽缓冲液 0.5 毫升，无细胞提取液蛋白 15 毫克（用 0.1 M NaHCO₃ 提取，透析 9 小时）。30°C，反应 1 小时，振速 100 次/分。

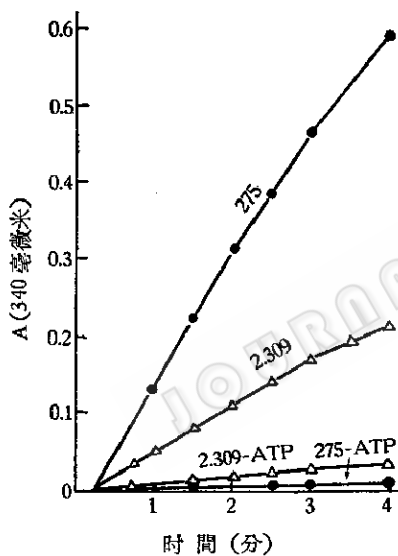


图 1 己糖激酶的活力

反应系統：在 2.8 毫升中含下列物质微克分子数：葡萄糖 20，ATP 10，MgCl₂ 10，NADP 0.8，0.1 M pH 7.5 Tris 缓冲液 0.5 毫升，无细胞提取液蛋白 0.9 毫克。

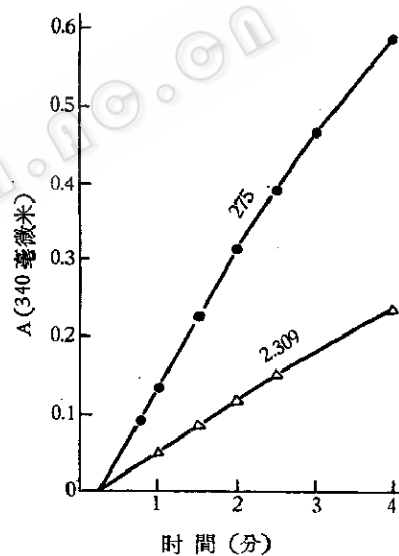


图 2 磷酸己糖异构酶的活力

反应系統：2.8 毫升中含下列物质微克分子数：MgCl₂ 10，F-6-P 10，NADP 0.8，0.1 M pH 7.5 Tris 缓冲液 0.5 毫升，无细胞提取液蛋白 0.9 毫克。

3. 磷酸果糖激酶：无细胞提取液与 F-6-P 及 ATP 一起保温，如果有磷酸果糖激酶，则生成 FDP。而该物为醛缩酶的底物，故可按测定醛缩酶的方法进行测定。在该两酵母的无细胞提取液中由下面实验可以看出，均有醛缩酶及 3-磷酸甘油醛脱氢酶存在，因此没有补充加入这两个酶。结果见图 3。275 号有磷酸果糖激酶，2.309 未能测出活力。

4. 醛缩酶和 3-磷酸甘油醛脱氢酶：按 Warburg 和 Christian^[18] 的方法测定，FDP 经醛缩酶作用生成磷酸二羟丙酮及 3-磷酸甘油醛，后者再经 3-磷酸甘油醛脱氢酶作用使 NAD 还原，用这种方法同时测定该两酶的存在。结果见图 4。两株酵母均能测出酶活力，仍以 275 号活力较高。

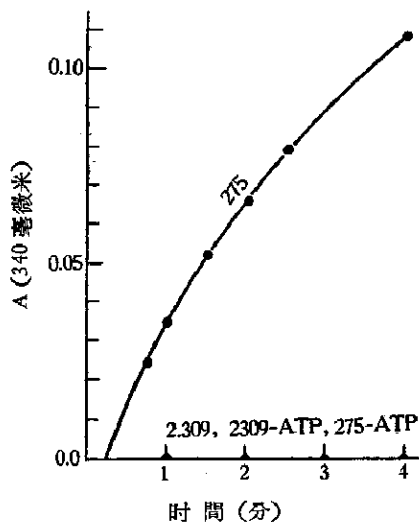


图3 磷酸果糖激酶的活力

反应系統: 2.8毫升中含下列物質微克分子數: F-6-P 10, MgCl₂ 10, ATP 5, 牛胱氨酸 20, 碱酸二鈉 34, NAD 0.6, 0.1M pH 7.5 Tris 緩沖液 0.5毫升, 无細胞提取液蛋白 1.8毫克。

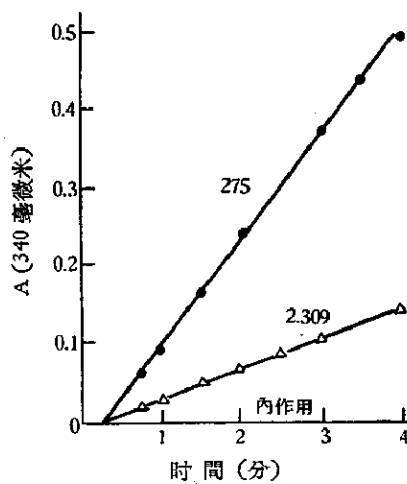


图4 脫氶酶及 3-磷酸甘油醛脫氶酶活力
反应系統: 2.8毫升中含下列物質微克分子數: 碱酸二鈉 34, 甘氨酸 81, 牛胱氨酸 20, FDP 10, NAD 0.6, 无細胞提取液含蛋白 2毫克。

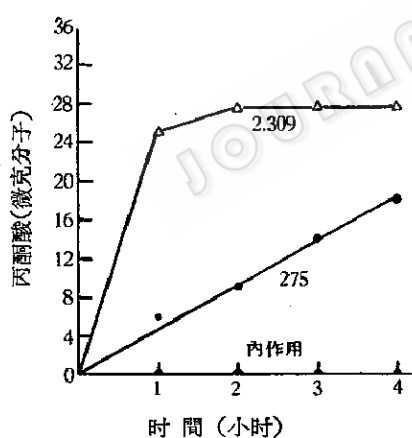


图5 由 3-磷酸甘油酸生成丙酮酸

反应系統: 12毫升中含下列物質微克分子數: ADP 5, Na₂AsO₃ 25, 3-磷酸甘油酸 30, pH 7.5 0.2 M 甘氨酸二肽 2.5毫升, 无細胞提取液蛋白 30毫克。內作用不加底物。31°C, 每小時取样 2毫升加等體積 10% TCA 終止酶的活力, 离心后取 0.5毫升上清液进行丙酮酸分析。

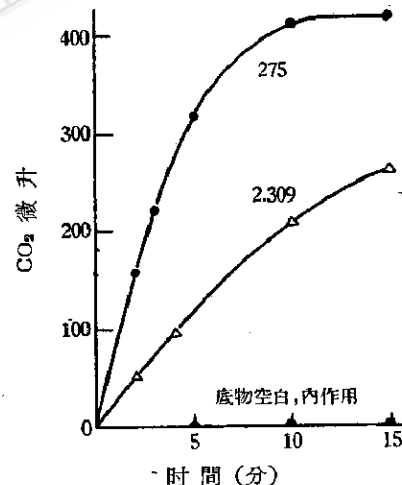


图6 磷化酶活力

反应系統: 2.4毫升中含丙酮酸 50微克分子, 0.2M pH 5.0 醋酸緩沖液 0.2毫升, 无細胞提取液 275含蛋白 9毫克, 2.309含蛋白 9.5毫克(用 pH 6.0 1/15M 磷酸緩沖液提取, 不經透析, 离心后立即测定)。內作用以水代底物。底物空白以水代无細胞提取液, 30°C。

5. 由 3-磷酸甘油酸生成丙酮酸: 按照 Sih 等^[19]的方法用 3-磷酸甘油酸作底物加入 ADP 及緩沖液和无細胞提取液一起保溫, 經過一定時間, 然後測定生成的丙酮酸。結果見圖 5。兩株酵母均能催化 3-磷酸甘油酸轉變為丙酮酸, 可知无細胞提取液中有 3-磷酸

甘油酸变位酶、烯醇化酶和丙酮酸激酶。

6. 羧化酶：按 Green 等^[20]的方法测定，羧化酶催化丙酮酸脱羧生成乙醛及 CO₂，利用瓦氏呼吸计测定放出的 CO₂ 量，表示该酶的活力。结果见图 6，两种酵母均有羧化酶活力，以 275 号较高。

7. 醇脱氢酶：按 Racker^[21] 法测定，以乙醇为底物测定 NAD 的还原。结果见图 7。275 号酵母中醇脱氢酶活力很高，2.309 号的极低。这与 275 号酵母产生乙醇的事实相符。

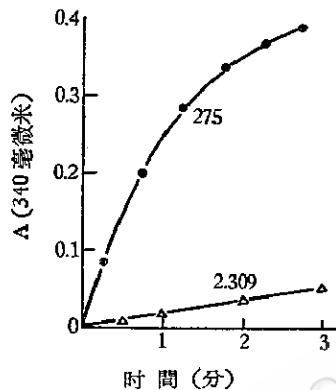


图 7 醇脱氢酶活力

反应系统：2.8 毫升中含乙醇 300 微克分子，NAD 0.5 微克分子，0.2 M pH 8.6 Tris 缓冲液 0.2 毫升，无细胞提取液含蛋白 1.6 毫克。

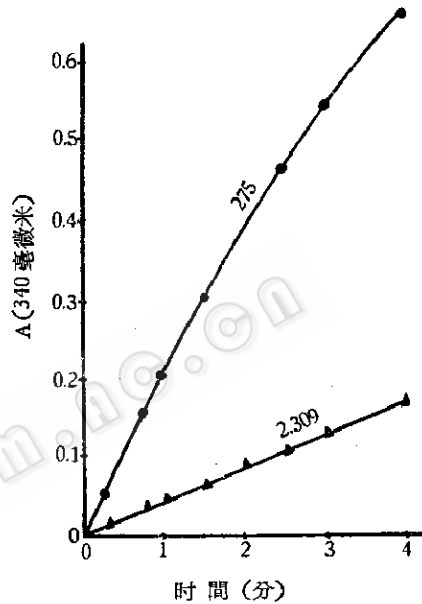


图 8 G-6-P 脱氢酶活力

反应系统：2.9 毫升中含下列物质微克分子数：G-6-P 2，NADP 0.8，MgCl₂ 10，甘氨酸二肽缓冲液 0.1 M pH 7.5 0.2 毫升，无细胞提取液含蛋白 1 毫克。

(四) 磷酸戊糖循环酶系的测定

1. G-6-P 脱氢酶：按 Warburg^[22] 法测定，以 G-6-P 为底物，测定 NADP 的还原，结果见图 8。两种酵母均有 G-6-P 脱氢酶活力，主要以 NADP 为氢受体，以 NAD 代 NADP 时则几乎无作用(2.309)或作用极低(275)。G-6-P 脱氢酶受磷酸盐抑制(表 3)，磷酸盐浓度在 0.027 M 即有明显的抑制作用。

表 3 磷酸盐* 对 G-6-P 脱氢酶的抑制作用

磷酸盐浓度 (M)	抑制 %	
	275	2.309
0	0	0
0.027	26.0	44.9
0.054	78.0	57.4
0.107	93.6	78.7

* 磷酸盐为 pH 8.5 磷酸缓冲液，反应系统的 pH 亦为 8.5。

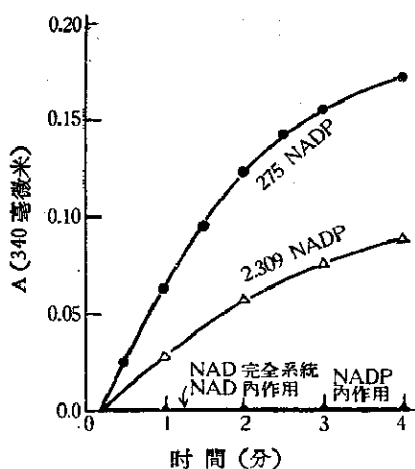
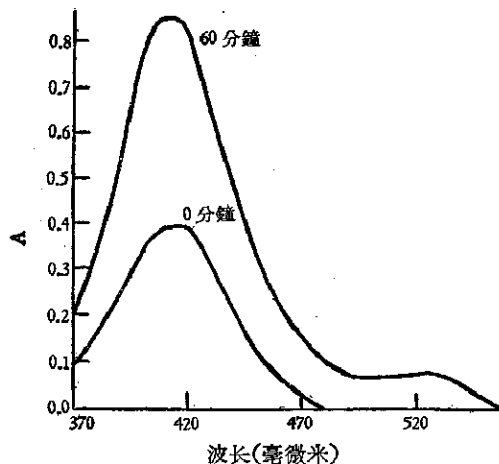
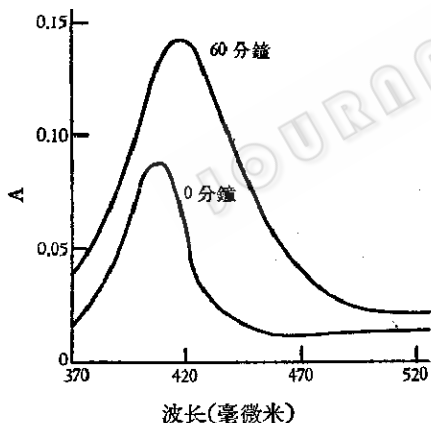


图 9 6-P-G 脱氢酶的活力

反应系统: 2.9 毫升含下列物质微克分子数:
 $MnCl_2$ 1.8, 6-P-G 2, NADP 或 NAD 0.8,
 $0.1 M$ pH 7.5 Tris 缓冲液 1 毫升, 无细胞提取液蛋白 275 1.1 毫克, 2.309 1.2 毫克。

图 10 275 转酮酶反应产物的 Cysteine- H_2SO_4 反应光谱

反应系统: 5 毫升中含下列物质微克分子数:
 $R-5-P$ 20, $MgCl_2$ 40, 半胱氨酸 10, 甘氨酸二肽 (pH 7.5) 50, 亚硫酸钠 100, 无细胞提取液含蛋白 13.2 毫克。用等体积 10% TCA 停止酶的活动, 离心后取 0.3 毫升做 Cysteine- H_2SO_4 反应。

图 11 2.309 转酮酶反应产物 Cysteine- H_2SO_4 反应光谱

反应系统中无细胞提取液蛋白 12.1 毫克, 不加亚硫酸氢钠。其他同图 10。

再经转酮酶作用形成 3-磷酸甘油醛和 7-磷酸景天糖, 这两个产物为转醛酶的底物, 经转醛酶作用形成磷酸己糖。由此结果可知, 在两株酵母的无细胞提取液中有磷酸戊糖异构酶、转酮酶和转醛酶的活力。

(五) 多元醇脱氢酶

在这两株酵母的无细胞提取液中均测出有连系 NADP 的多元醇脱氢酶存在, 测定方法是以 D-核酮糖、D-木酮糖或二羟丙酮等为底物测 NADPH 的氧化, 结果见图 12、13, 275 号能还原 D-核酮糖、D-木酮糖及二羟丙酮, 2.309 号只能还原二羟丙酮, 符合于

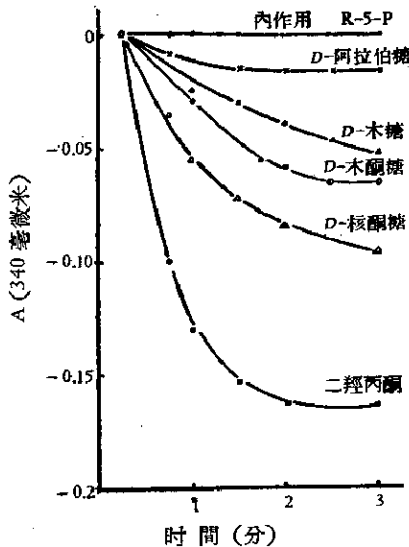


图 12 275 多元醇脱氢酶活力
(以 NADPH_2 为氢供体)

反应系统: 1.4 毫升中含下列物质微克分子数: NADP 0.84, G-6-P 2.1, MgCl_2 21, 0.5 M pH 7.5 甘氨二肽 0.35 毫升, 无细胞提取液蛋白 10.8 毫克, 当形成的 NADPH_2 不再增加时再加 1.4 毫升 0.2 M pH 7.5 磷酸缓冲液, 当加入底物 (0.1 M) 0.2 毫升后 15 秒钟开始读数, 内作用以水代底物。

275 号生成甘油及 D-阿拉伯糖醇而 2.309 号只生成甘油的事实。以 NADH_2 代替 NADPH_2 时 275 号仅能还原二羟丙酮, 2.309 号则均无作用(图 14)。

以 R-5-P 为底物时无作用, 因无细胞提取液中有磷酸戊糖异构酶, 可催化 R-5-P 生成 Ru-5-P 及 Xu-5-P, 可知这些均不能作为底物, 看来多元醇脱氢酶的底物应为酮糖而非酮糖磷酸酯。

(六) 磷酸酯酶活力

糖代谢中间产物多为糖磷酸酯, 但多元醇脱氢酶则要求游离酮糖为底物, 推测菌体中应有磷酸酯酶, 可分解糖磷酸酯为游离糖, 故又进行了磷酸酯酶活力的测定。以糖磷酸酯作为底物, 与无细胞提取液在一定的缓冲液中一起保温时, 每 15 分钟取样 1 次, 用等体积的 10% TCA 沉淀蛋白后, 用 Fiske-Subbarow 法定无机磷酸, 随着保温时间的增长, 释放无机磷酸的增多来表示酶的活力, 见图 15。两株酵母菌有磷酸酯酶活力。

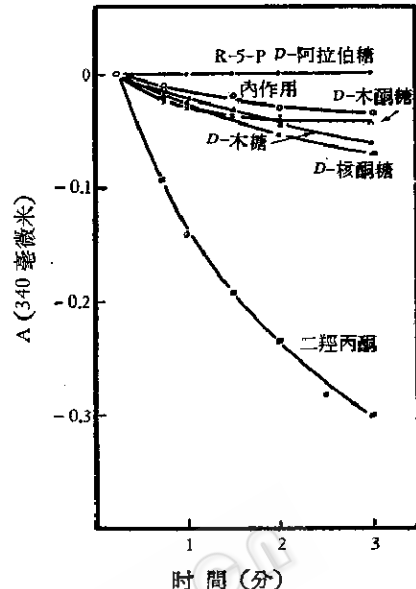


图 13 2.309 多元醇脱氢酶活力
反应系统: 除无细胞提取液蛋白为 3.94 毫克外, 其他同图 12。

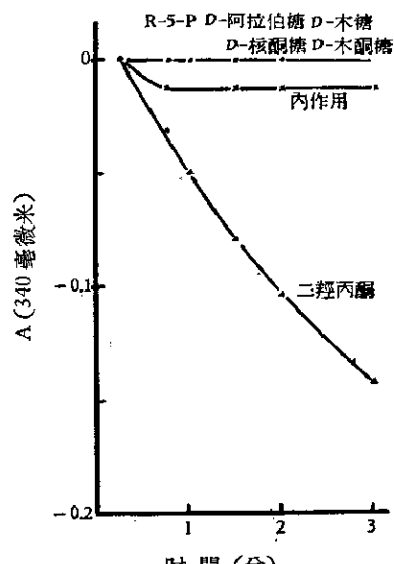


图 14 275 多元醇脱氢酶活力
(以 NADH_2 为氢供体)

反应系统: 2.9 毫升内含下列物质微克分子数: 底物 20, NADH_2 0.63, MgCl_2 10, 0.2 M pH 7.5 磷酸缓冲液 0.5 毫升, 无细胞提取液蛋白 10.8 毫克。注: 2.309 号在上述条件下未测出该酶活力。

(七) 用葡萄糖-C¹⁴ 进行的呼吸試驗

由以上結果知两株酵母中均有 EMP 及磷酸戊糖循环的一系列酶活力。为了更进一步查出两途径的相对比重，我們又用葡萄糖-1-C¹⁴ 和全标记的葡萄糖-全-C¹⁴ 进行了呼吸試驗，收集呼吸释放的 CO₂ 并测定其放射活性；然后根据由两种底物放出 CO₂ 的放射性計数，計算 C₁/C₂₋₆ 比值。在計算以前，对 CO₂ 的計数作两种校正：(1)由葡萄糖-1-C¹⁴ 和葡萄糖-全-C¹⁴ 放出的 CO₂ (实际上测定的耗 O₂ 量) 有时相差較大，故根据耗 O₂ 量对 CO₂ 計数作校正，例如表 4 中实验 2 的 275 号的数据由葡萄糖-1-C¹⁴ 和全-C¹⁴ 所生 CO₂ 計数分別为 572 和 518 c. p. m.，所耗 O₂ 分別为 205 和 187 微升。校正法如下：518 × 205/187 = 568。(2) 两种酵母的 R. Q. 不同，275 号变动在 1.5—2 之間。2.309 号在 1.1—1.3 之間，275 号产生乙醇，R. Q. 較高是由于乙醇发酵产生 CO₂，而乙醇发酵所生 CO₂ 的碳来自葡萄糖的第 3 和第 4 碳原子。这样由葡萄糖-全-C¹⁴ 所生 CO₂ 的計数就相应地高了。此数值再除以 R. Q. 值即代表真正由呼吸释放 CO₂ 的計数。仍举上述例子，由葡萄糖-全-C¹⁴ 所生 CO₂ 計数已校正为 568，其 R. Q. 为 1.45。568 ÷ 1.45 = 391。此数值即表 4 中所列数据，至于原始加入的两种葡萄糖計数也稍有差別，但在各項实验中均不变，因作相对的比較，所以未作校正。C₁/C₂₋₆ 的計算方法如下：設由葡萄糖-1-C¹⁴ 所生 CO₂ 的計数为 a ，由葡萄糖-全-C¹⁴ 所

生 CO₂ 的計数为 b ，則 $\frac{C_1}{C_{2-6}} = \frac{\frac{a}{6}}{\left(b - \frac{a}{6}\right) \div 5}$ 。为了检验以上的校正方法是否合理，我

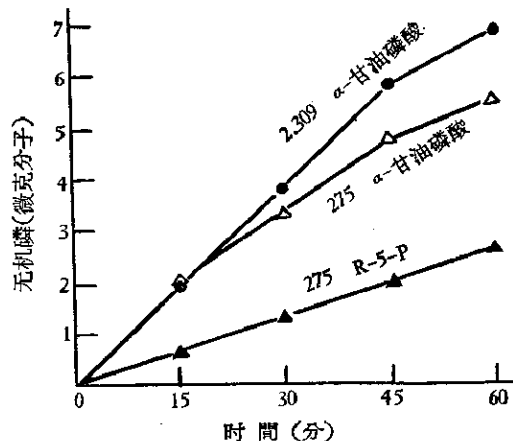


图 15 磷酸脂酶活力
反应系統：10 毫升中含下列物质微克分子数：磷酸酯 20, MgCl₂ 10, pH 5.0 醋酸缓冲液 0.2M 5 毫升, 无細胞提取液蛋白 10 毫克。

表 4 葡萄糖-C¹⁴ 的呼吸試驗

实 验 号 数	呼吸時間(分)	底物葡萄糖*	275		2.309	
			CO ₂ c.p.m.	C ₁ /C ₂₋₆	CO ₂ c.p.m.	C ₁ /C ₂₋₆
1	60	C-1 C-全	217 138	1.76	284 314	0.80
2	30	C-1 C-全	572 391	1.61	361 417	0.85
3	30	C-1 C-全	480 329	1.60	328 343	0.95
4	30	C-1 C-全	387 227	1.98	308 342	0.75
平 均				1.74		0.84

* 加入葡萄糖为 30 微克分子。其比活性葡萄糖-1-C¹⁴ = 489 c. p. m./微克分子，葡萄糖-全-C¹⁴ = 517 c. p. m./微克分子。

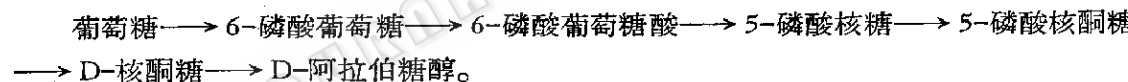
們用啤酒酵母作了實驗，啤酒酵母 2.399 號 R. Q. = 3.08，由葡萄糖-1-C¹⁴ 和葡萄糖-全-C¹⁴ 所生 CO₂ 之計數分別為 240 和 815，如果按此數直接計算 $\frac{C_1}{C_{2-6}}$ 為 0.258，如對 R. Q. 校正後，則為 0.89。啤酒酵母以 EMP 為主，比值不超過 1，說明這種計算方法是合理的。

文獻上多用葡萄糖-1-C¹⁴ 和葡萄糖-6-C¹⁴ 作呼吸底物，計算 $\frac{C_1}{C_6}$ 比值^[24]，如果葡萄糖完全通過 EMP 途徑然後通過三羧酸循環氧化時，則 $\frac{C_1}{C_6}$ 比值理論上應為 1。呼吸時葡萄糖的各碳原子轉化為 CO₂ 的先後不同，第 3、4 碳原子較優先放出，因此用 $\frac{C_1}{C_{2-6}}$ 比值常要小於 1。啤酒酵母和 2.309 的該比值均小於 1。推測 2.309 號酵母以 EMP 為主。275 號酵母的比值則遠大於 1，即第 1 碳原子優先成 CO₂ 放出的比例較大，也就是磷酸戊糖循環所占的比重較大，這與它生成五碳化合物——阿拉伯糖醇的事實是相符合的。

三、討 論

由以上結果可知所測定的 EMP 途徑及磷酸戊糖循環的各個酶在兩株酵母無細胞提取液中均存在，僅在 2.309 號酵母中未能測出磷酸果糖激酶活力，但這並不能認為在 2.309 號酵母不能通過雙磷酸己糖的途徑，因為在葡萄糖-C¹⁴ 的呼吸試驗中表明 2.309 以 EMP 途徑為主，推測可能在 2.309 中磷酸果糖激酶不穩定，在提取過程中即行失活所致。

關於多元醇的形成途徑可以有兩種方式，一為磷酸酮糖先還原為磷酸多元醇然後分解掉磷酸成游離多元醇。一為磷酸酮糖先分解掉磷酸，再還原成多元醇，我們的結果支持後一種方式。推定阿拉伯糖醇的形成途徑如下：



四、摘 要

1. 測定了兩株耐高滲透壓酵母 (*Hansenula arabitolgenes* Fang. 275 及 *Zygosaccharomyces chevalieri* Guill. 2.309) 無細胞提取液中 EMP 及磷酸戊糖循環的酶活力，除在 2.309 中未能測出磷酸果糖激酶外，其他所測各酶在兩株酵母中均有活力。

2. 在兩株酵母中均有聯繫 NADP 的多元醇脫氫酶，催化二羥丙酮還原為甘油 (275 及 2.309 中) 以及 D-核酮糖還原為 D-阿拉伯糖醇 (僅在 275 中)。

3. 用葡萄糖-C¹⁴ 的呼吸試驗表明在 275 號酵母中磷酸戊糖循環占較大比重，這與它能產生大量五碳化合物——阿拉伯糖醇是相符合的。

參 考 文 獻

- [1] Spencer, J. F. T. & Sallans, H. R.: *Can. J. Microbiol.*, 2:72—79, 1956.
- [2] Spencer, J. F. T. & Shu, Ping: *Can. J. Microbiol.*, 3:559—567, 1956.
- [3] Peterson, W. H., Hendershot, W. F., & Hajny, G. J.: *Appl. Microbiol.*, 6:349—357, 1958.
- [4] Hajny, G. J., Hendershot, W. F., & Peterson, W. H.: *Appl. Microbiol.*, 8:5—11, 1960.
- [5] Onishi, Hiroshi, Saito, Narimasa, & Koshiyama, Ikuonori: *Agr. Biol. Chem.*, 25:124—130, 1961.
- [6] Spencer, J. F. T., Neish, A. C., Blackwood, A. C., & Sallans, H. R.: *Can. J. Biochem. Physiol.*, 34: 459—501, 1956.

- [7] Onishi, Hiroshi & Saito, Natimasa: *Agr. Biol. Chem.*, **26**:245—251, 1962.
[8] Weimberg, R.: *Biochem. Biophys. Res. Comm.*, **8**:442, 1962.
[9] 张树政、楊廉婉、王惠蓮: 微生物学报, **8**:369—376, 1962。
[10] 张树政、楊廉婉、王惠蓮: 微生物学报, **9**:134—139, 200—201, 1962。
[11] Schmidt, C. T. H., & Treiber, R.: *Ber.*, **66**:1765, 1933.
[12] Rafter, G. W., & Colowick, S. P. *Methods in Enzymology*, **111**:887. Colowick, S. P. & Kaplan, N. O. (Eds.) 1957.
[13] Levin, R., & Brauer, R. W.: *Lab. Clin. Med.*, **38**:474, 1951.
[14] Fiske, C. H., & Subbarow, Y.: *J. Biol. Chem.*, **66**:375—400, 1925.
[15] Friedemann, T. E., & Haugen, G. E.: *J. Biol. Chem.*, **147**:415—422, 1943.
[16] Stein, M. W., Cori, G. T., & Cori, C. F.: *J. Biol. Chem.*, **186**:763—780, 1950.
[17] Stein, M. W.: *ibid.*, **186**:753—761, 1950.
[18] Taylor, J. F.: *Methods in Enzymology* **1**:310. Colowick, S. P., & Kaplan N. O. (Eds) 1955.
[19] Sih, C. J., & Knight, S. G.: *J. Bacteriol.*, **72**:694—699, 1956.
[20] Green, D. E., Herbert, D., & Subrahmanyam, V.: *J. Biol. Chem.*, **138**:327—339, 1941.
[21] Racker, E.: *J. Biol. Chem.*, **184**:313—319, 1950.
[22] Kornberg, A. & Horecker, B. L.: *Methods in Enzymology* **1**:323. Colowick, S. P., & Kaplan N. O. (Eds) 1955.
[23] Dische, Z., Shattles, L. B., & Osnos, M.: *Arch. Biochem. Biophysics.*, **22**:169—184, 1949.
[24] Bloom, B., & Stetten, D.: *J. Am. Chem. Soc.*, **75**:5446, 1953.

STUDIES ON THE PRODUCTION OF GLYCEROL AND ARABITOL BY OSMOPHILIC YEASTS

IV. CARBOHYDRATE METABOLISM IN OSMOPHILIC YEASTS

CHANG SHU-CHENG, WANG HUEI-LIEN, YANG LIEN-WAN

(Institute of Microbiology, Academia Sinica, Peking)

1. Activity of enzymes of EMP and pentose phosphate cycle was determined in cell-free extracts of two strains of osmophilic yeasts. i.e., *Hansenula arabitolgenes* Fang 275 and *Zygosaccharomyces chevalieri* Guill. 2.309. Except phosphofructokinase, which was not detected in 2.309, all other key enzymes were present in the extracts of both strains.

2. A NADP—linked polyol dehydrogenase, which catalyzed the reduction of dihydroxyacetone to glycerol (in both 275 and 2.309) and D-Ribulose to D-arabitol (in 275 only) was found in both strains.

3. Respiration experiments using glucose-C¹⁴ showed that pentose phosphate cycle was more dominant in strain 275. This is in accordance with the fact that strain 275 produced more 5-carbon compound—arabitol.